



МОСКОВСКИЙ ГОСУДАРСТВЕННЫЙ УНИВЕРСИТЕТ ИМЕНИ М. В. ЛОМОНОСОВА
Факультет вычислительной математики и кибернетики
Кафедра системного анализа

Отчёт по заданию №10 лабораторной работы №3

«Аппроксимация преобразования Фурье с помощью быстрого преобразования Фурье»

Студент 315 группы
А. А. Лабутин

Руководитель
к.ф.-м.н., доцент П. А. Точилин

Москва, 2020

1 Постановка задачи

Получить аппроксимацию преобразования Фурье $F(\lambda)$ для каждой функции $f(t)$ из набора

$$\left\{ t \cdot e^{-2 \cdot t^2}, \arctan(3 \cdot t) - \arctan(2 \cdot t), \frac{1 - \cos(t^3)}{t^5}, \frac{e^{-2 \cdot |t|}}{1 + (\sin t)^2} \right\}$$

при помощи быстрого преобразования Фурье (БПФ), выбирая различные шаги дискретизации исходной функции и различные окна, ограничивающие область определения $f(t)$. Построить графики $F(\lambda)$. Для первых двух функций $f(t)$ вычислить $F(\lambda)$ в явном виде и сравнить графики $F(\lambda)$, полученные из аналитического представления $F(\lambda)$ и из аппроксимации через БПФ.

2 Теория

$f(t)$ - заданная функция,

$[a, b]$ - окно для $f(t)$,

$$h_{a,b}(t) = \begin{cases} 1 & \text{если } t \in [a, b] \\ 0 & \text{если } t \in (-\infty, a) \cup (b, +\infty) \end{cases} \quad \text{— оконная функция}$$

$$f_{a,b}(t) = f(t) \cdot h_{a,b}(t)$$

Продолжим функцию $f_{a,b}(t)$ по периоду $T_f = b - a$.

$step_f$ - заданный шаг дискретизации,

$N = \text{round}(\frac{b-a}{step_f})$ - заданное число узлов сеточной функции на отрезке $[a, b]$.

Пересчитаем шаг дискретизации: $step_f = \frac{b-a}{N}$.

Получим сеточную функцию на отрезке $[a, b]$: $f_{a,b,i} = f(a + i \cdot step_f)$, где $i \in \{0, 1, \dots, N-1\}$.

С помощью программного алгоритма получим на отрезке $[0; T_f]$ сеточную функцию с N отсчётами, соответствующую функции $f_{a,b}(t)$: $f_i = f(i \cdot step_f)$, где $i \in \{0, 1, \dots, N-1\}$.

Подадим на вход Matlab-функции **fft**, осуществляющей быстрое преобразование Фурье, массив $[f_0, f_1, \dots, f_{N-1}]$. На выходе получим массив из $(N-1)$ комплексных чисел — аппроксимацию преобразования Фурье с новым шагом, равным $step_F = \frac{2\pi}{T_f}$ (на отрезке $[0, (N-1) \cdot step_F]$). Продолжим эту сеточную функцию с периодом $T_F = (N-1) \cdot step_F$ так, чтобы её можно было изобразить на графике при $t \in [c, d]$ (c и d - заданные числа).

3 Вычисление преобразований Фурье первых двух функций

1. $f(t) = t \cdot e^{-2 \cdot t^2}$

$f(t)$ - нечётная функция \Rightarrow действительная часть $F(\lambda)$ равна нулю.

$$\begin{aligned} F(\lambda) &= \int_{-\infty}^{+\infty} (t \cdot e^{-2 \cdot t^2}) \cdot (-i \cdot \sin(\lambda \cdot t)) dt = \frac{i}{4} \cdot \int_{-\infty}^{+\infty} \sin(\lambda \cdot t) d(e^{-2 \cdot t^2}) = \\ &= \frac{i}{4} \cdot \left[\sin(\lambda \cdot t) \cdot e^{-2 \cdot t^2} \Big|_{-\infty}^{+\infty} - \int_{-\infty}^{+\infty} e^{-2 \cdot t^2} d(\sin \lambda \cdot t) \right] = \frac{-\lambda \cdot i}{4} \int_{-\infty}^{+\infty} e^{-2 \cdot t^2} \cdot \cos(\lambda \cdot t) dt. \\ \int_{-\infty}^{+\infty} e^{-2 \cdot t^2} \cdot \cos(\lambda \cdot t) dt &= Re \left[\int_{-\infty}^{+\infty} e^{-2 \cdot t^2 + i \cdot \lambda \cdot t} dt \right] = \\ Re \left[\frac{e^{-\frac{\lambda^2}{8}}}{\sqrt{2}} \cdot \int_{-\infty}^{+\infty} e^{-(\sqrt{2} \cdot (t - \frac{i \cdot \lambda}{4}))^2} d(\sqrt{2} \cdot (t - \frac{i \cdot \lambda}{4})) \right] &= \sqrt{\frac{\pi}{2}} \cdot e^{-\frac{\lambda^2}{8}}. \end{aligned}$$

Таким образом, $F(\lambda) = -i \cdot \frac{\sqrt{2 \cdot \pi}}{8} \cdot e^{-\frac{\lambda^2}{8}}$.

2. $f(t) = \arctan(3 \cdot t) - \arctan(2 \cdot t)$

$f(t)$ - нечётная функция \Rightarrow действительная часть $F(\lambda)$ равна нулю.

$$\arctan(3 \cdot t) - \arctan(2 \cdot t) = \arctan\left(\frac{3 \cdot t - 2 \cdot t}{1 + (3 \cdot t) \cdot (2 \cdot t)}\right) = \arctan\left(\frac{t}{1 + 6 \cdot t^2}\right).$$

$$\begin{aligned} F(\lambda) &= \int_{-\infty}^{+\infty} \arctan\left(\frac{t}{1 + 6 \cdot t^2}\right) \cdot (-i \cdot \sin(\lambda \cdot t)) d(t) = \frac{i}{\lambda} \cdot \int_{-\infty}^{+\infty} \arctan\left(\frac{t}{1 + 6 \cdot t^2}\right) d(\cos(\lambda \cdot t)) = \\ \frac{i}{\lambda} \cdot \left[\cos(\lambda \cdot t) \cdot \arctan\left(\frac{t}{1 + 6 \cdot t^2}\right) \Big|_{-\infty}^{+\infty} - \int_{-\infty}^{+\infty} \cos(\lambda \cdot t) d\left(\arctan\left(\frac{t}{1 + 6 \cdot t^2}\right)\right) \right] &= \\ - \frac{i}{\lambda} \cdot \int_{-\infty}^{+\infty} \frac{(1 - 6 \cdot t^2) \cdot \cos(\lambda \cdot t)}{36 \cdot t^4 + 13 \cdot t^2 + 1} dt &= - \frac{i}{\lambda} \cdot \int_{-\infty}^{+\infty} \cos(\lambda \cdot t) \cdot \left(\frac{3}{9 \cdot t^2 + 1} - \frac{2}{4 \cdot t^2 + 1}\right) dt = \\ - \frac{i}{\lambda} \cdot \left[\int_{-\infty}^{+\infty} \frac{\cos(\frac{\lambda}{3} \cdot (3t))}{(3t)^2 + 1} d(3 \cdot t) - \int_{-\infty}^{+\infty} \frac{\cos(\frac{\lambda}{2} \cdot (2t))}{(2t)^2 + 1} d(2 \cdot t) \right]. \end{aligned}$$

Рассмотрим следующий интеграл, зависящий от параметра k :

$\int_{-\infty}^{+\infty} \frac{\cos(k \cdot t)}{t^2 + 1} d(t) = 2 \cdot \int_0^{+\infty} \frac{\cos(k \cdot t)}{t^2 + 1} d(t) = 2 \cdot \frac{\pi}{2} \cdot e^{-|k|} = \pi \cdot e^{-|k|}$, как удвоенный интеграл Лапласа с параметром k .

$$F(\lambda) = -\frac{i}{\lambda} \left[\pi \cdot e^{-\frac{|\lambda|}{3}} - \pi \cdot e^{-\frac{|\lambda|}{2}} \right] = i \cdot \frac{\pi}{\lambda} \cdot (e^{-\frac{|\lambda|}{2}} - e^{-\frac{|\lambda|}{3}}).$$

4 Графики преобразований Фурье при различных значениях параметров

$$f_1(t) = t \cdot e^{-2 \cdot t^2}, f_2(t) = \arctan(3 \cdot t) - \arctan(2 \cdot t), f_3(t) = \frac{1 - \cos(t^3)}{t^5}, f_4(t) = \frac{e^{-2 \cdot |t|}}{1 + (\sin t)^2}.$$

Далее на графиках красным цветом показано аналитическое преобразование Фурье, а синим - его численная аппроксимация.

- Иллюстрация эффекта наложения спектра

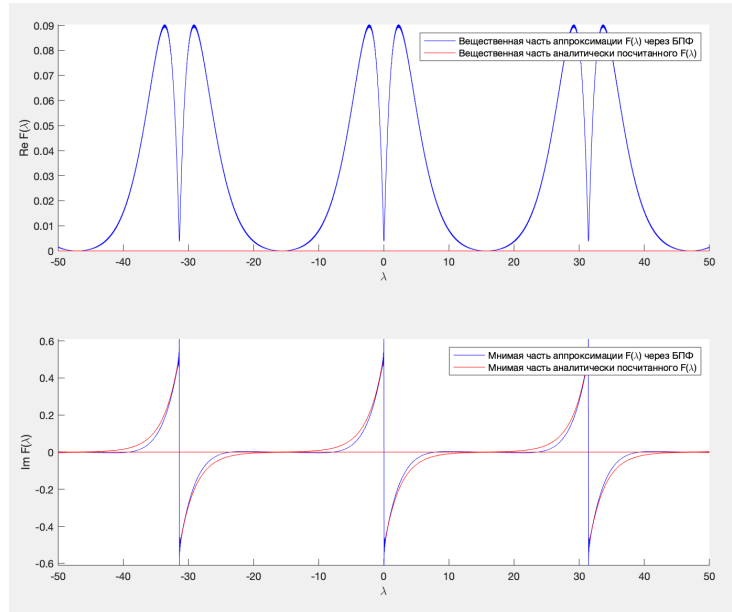


Рис. 1: $step_f = 0.2$, $[a, b] = [-100, 100]$, f_2

На Рис. 1 на нижнем графике наблюдается эффект наложения спектров: красным цветом нарисован график аналитического преобразования Фурье, сдвинутый на $k \cdot step_F$, где $k = \pm 1, \pm 2$; синим цветом показана сумма полученных графиков. Видно, что суммарный результат искажается.

На Рис. 2 шаг дискретизации $step_f$ уже равен 0.05. Как видно, эффект наложения спектров почти не наблюдается.

- Иллюстрация "ряби"

Как и ожидалось, в точках разрыва функции $F(\lambda)$ возникает "рябь". На Рис. 3 нарисован график преобразования Фурье f_2 с шагом дискретизации $step_f = 0.01$.

На Рис. 4 шаг дискретизации $step_f = 0.0001$, но "рябь" по-прежнему сохраняется. это иллюстрирует невозможность устранения "ряби" в точках разрыва $F(\lambda)$ при улучшении параметров.

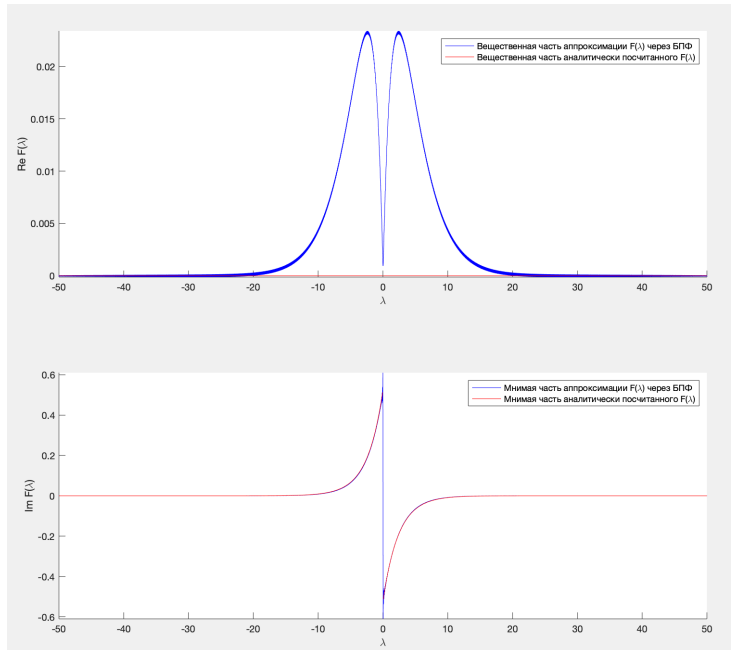


Рис. 2: $step_f = 0.05$, $[a, b] = [-100, 100]$, f_2

- **Графики преобразований Фурье функций f_1, f_2, f_3, f_4 при различных значениях параметров**

Для графиков функций f_1, f_2 синим цветом показана аппроксимация преобразования Фурье, красным - аналитическое преобразование Фурье.

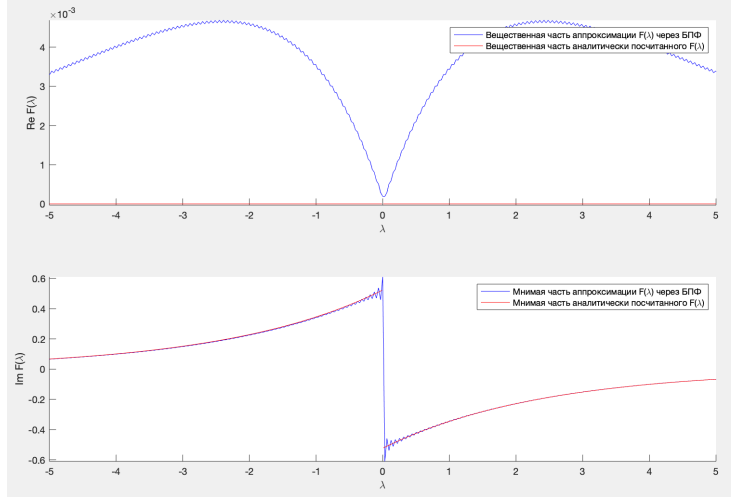


Рис. 3: $step_f = 0.01$, $[a, b] = [-50, 50]$, f_2

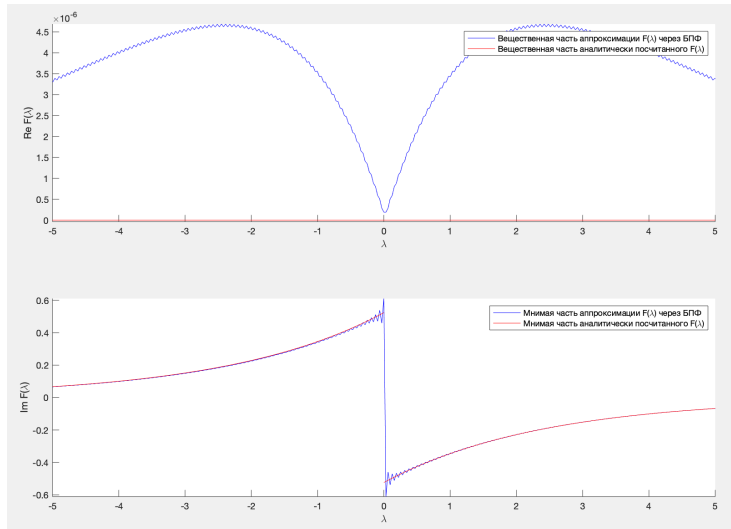


Рис. 4: $step_f = 0.00001$, $[a, b] = [-50, 50]$, f_2

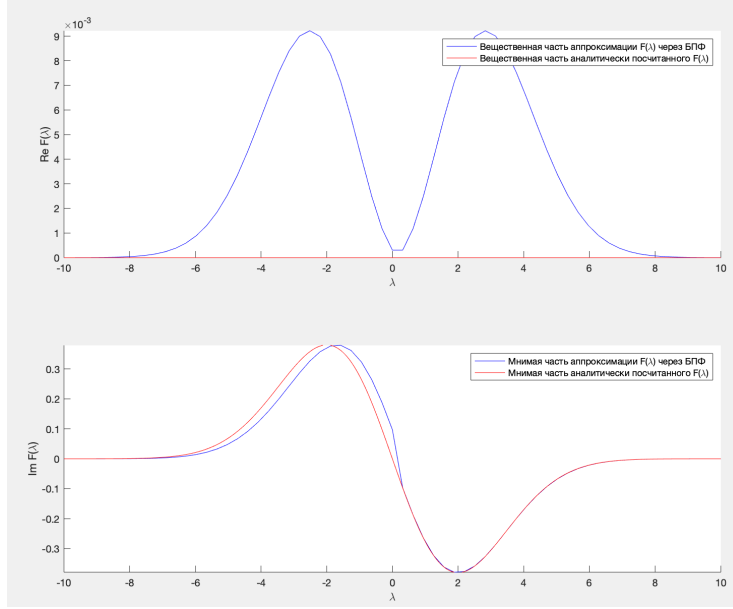


Рис. 5: $step_f = 0.01$, $[a, b] = [-10, 10]$, $[c, d] = [-10, 10]$, f_1

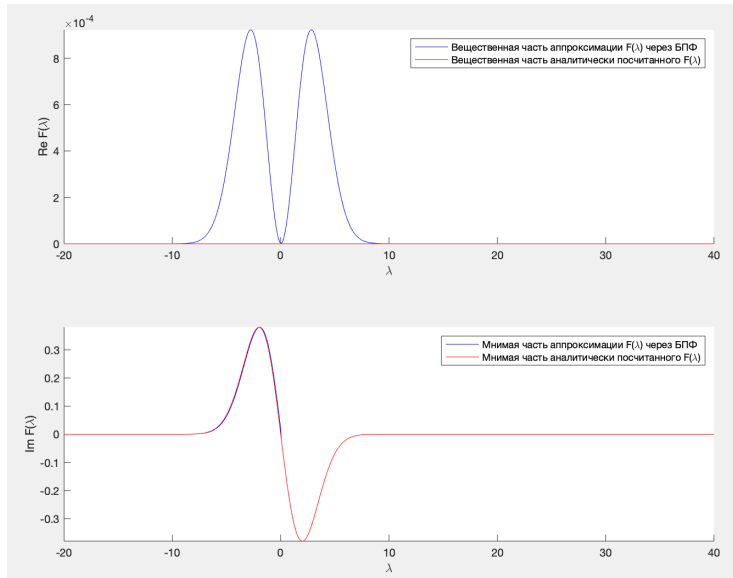


Рис. 6: $step_f = 0.001$, $[a, b] = [-50, 50]$, $[c, d] = [-20, 40]$, f_1

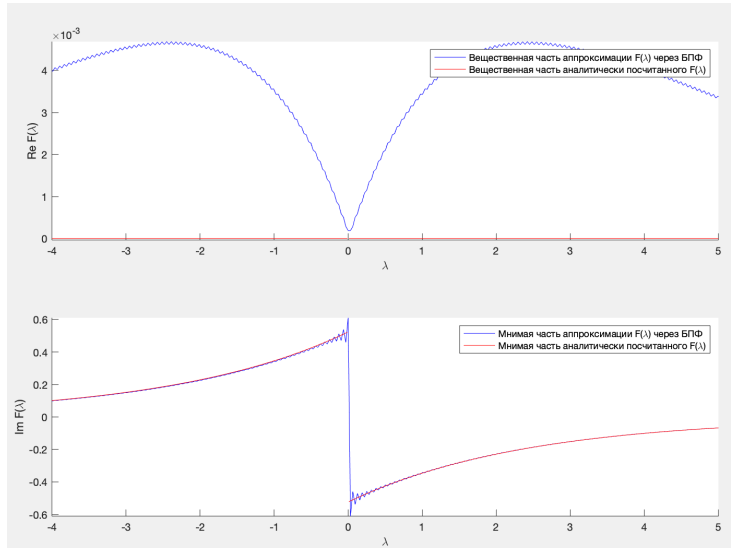


Рис. 7: $step_f = 0.01$, $[a, b] = [-100, 100]$, $[c, d] = [-4, 5]$, f_2

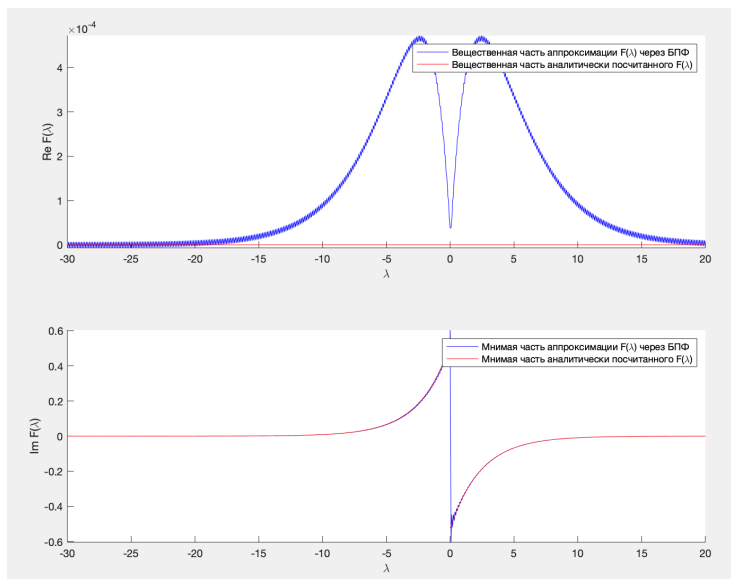


Рис. 8: $step_f = 0.001$, $[a, b] = [-50, 50]$, $[c, d] = [-30, 20]$, f_2

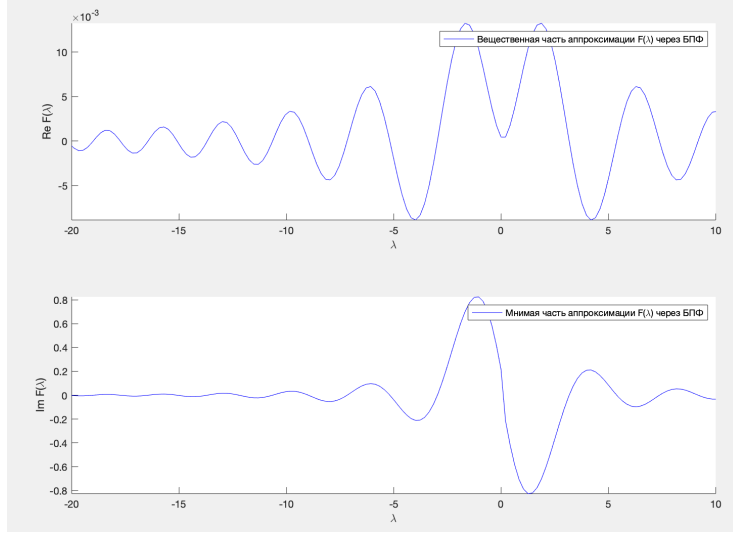


Рис. 9: $step_f = 0.01$, $[a, b] = [-10, 20]$, $[c, d] = [-20, 10]$, f_3

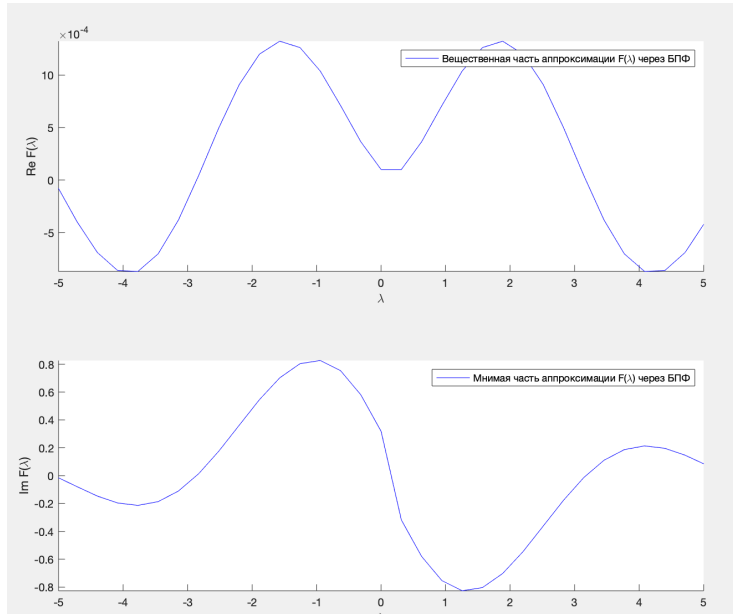


Рис. 10: $step_f = 0.001$, $[a, b] = [-10, 10]$, $[c, d] = [-5, 5]$, f_3

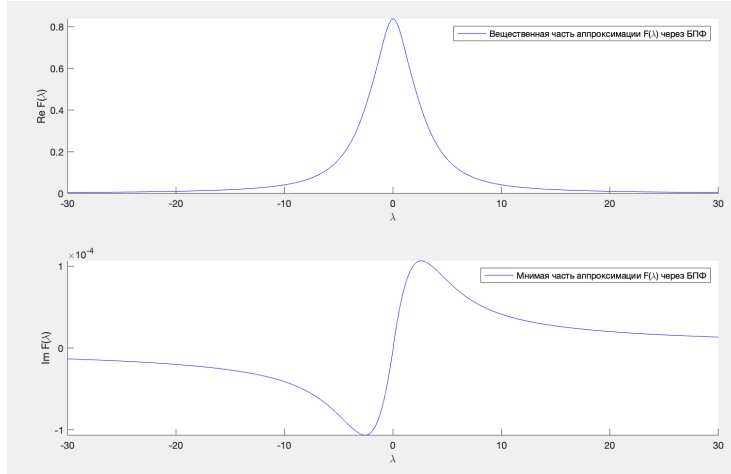


Рис. 11: $step_f = 0.0001$, $[a, b] = [-100, 100]$, $[c, d] = [-30, 30]$, f_4

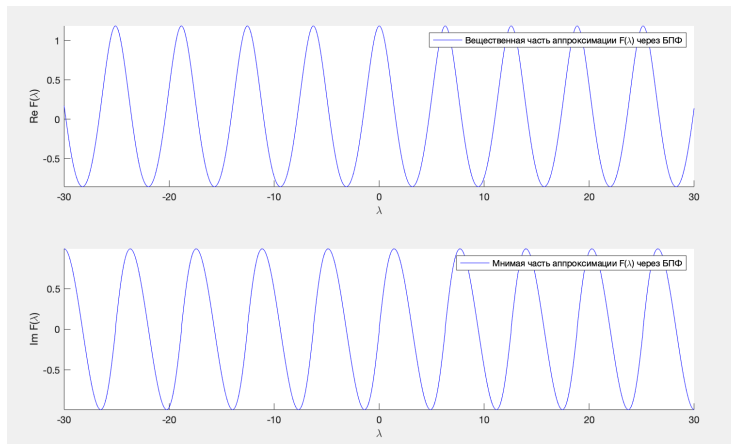


Рис. 12: $step_f = 1.0$, $[a, b] = [-100, 100]$, $[c, d] = [-30, 30]$, f_4